

**РАЗОГРЕВ ЭЛЕКТРОННОГО ГАЗА  
ВЫСОКОЧАСТОТНЫМ ЭЛЕКТРИЧЕСКИМ ПОЛЕМ  
В АКТИВНОЙ ОБЛАСТИ ПОЛУПРОВОДНИКОВОГО ГЕТЕРОЛАЗЕРА**

Горфинкель В. Б., Филатов И. И.

Теоретически исследовано влияние разогрева электронного газа электрическим полем  $E(t)$  в активной области гетеролазера на коэффициент усиления  $\alpha$  световой волны. Греющее поле  $E = E_0 + E_1 \sin(2\pi ft)$  прикладывалось параллельно слоям гетероструктуры. Показано, что в зависимости от соотношения переменной и постоянной составляющих греющего поля  $E_0$  и  $E_1$  модуляция величины  $\alpha$  может осуществляться как с частотой сигнала  $f$ , так и с удвоенной частотой  $2f$  вплоть до значений  $f \sim 400$  ГГц. Воздействие импульсами греющего поля пико-секундной длительности приводит к импульсному выключению гетеролазера с временем задержки порядка 1 пс.

В настоящей работе теоретически исследуется возможность управления выходной мощностью полупроводникового гетеролазера путем разогрева электронов высокочастотным полем  $E$  в активной области прибора. Греющее поле  $E$  может прикладываться, например, посредством нанесения специальных контактов к указанному слою гетероструктуры либо путем помешения прибора в резонатор или волновод. Разогрев электронов в узкозонном слое может оказывать влияние на выходные характеристики лазера за счет:

- повышения тока термоэлектронной эмиссии через гетеробарьер;
- перераспределения электронов в узкозонном слое между Г-, L- и X-долинами и вследствие этого уменьшения излучательной рекомбинации;
- увеличения коэффициента безызлучательной оже-рекомбинации [1].

В гетеролазере, кроме того, при заданном уровне тока накачки разогрев электронов может приводить к снятию вырождения и нарушению основного условия лазерной генерации [2]:

$$F_e - F_h > E_g, \quad (1)$$

где  $F_e$ ,  $F_h$  — энергии квазиуровней Ферми электронов и дырок,  $E_g$  — ширина запрещенной зоны активного слоя.

Все вышеперечисленные факторы влияют на уменьшение выходной мощности прибора при разогреве электронов электрическим полем  $E$ .

Известно, что характерные значения времен разогрева электронов электрическим полем  $\tau_e$  в соединениях  $\text{Al}^{III}\text{B}^V$  составляют  $10^{-12}$  с. Поэтому можно ожидать, что рассматриваемый механизм управления выходной мощностью излучения гетеролазера будет эффективен вплоть до частот  $f$ , удовлетворяющих условию

$$2\pi f \tau_e \leqslant 1. \quad (2)$$

В дальнейшем исследуется влияние разогрева на нормированный коэффициент усиления среды в активной области гетеролазера  $\alpha/\alpha_0$ , поскольку этот параметр не зависит от конкретной конструкции прибора. Величины  $\alpha(t)$ ,  $\alpha_0$  определяются следующими соотношениями:

$$\alpha(t) = \frac{B_{ec}}{c} n [1 - f_e(t) - f_h(t)], \quad (3a)$$

$$a_0 = \frac{B_{\nu c}}{c} n (1 - f_{e_0} - f_{n_0}), \quad (36)$$

где  $B_{\nu c}$  — вероятность перехода электрона из валентной зоны в зону проводимости,  $f_e$ ,  $f_h$  — функции распределения электронов и дырок,  $c$  — скорость света в вакууме,  $n$  — показатель преломления среды.

Величины с нулевым индексом определяются в рабочей точке прибора в отсутствие греющего поля  $E$ .

Для определения временных зависимостей  $f_e(t)$  и  $f_h(t)$  были сделаны следующие допущения:

- функции распределения электронов и дырок являются фермиевскими;
- температура дырок не зависит от величины греющего поля  $E$  и равна температуре решетки, температура электронов в Г-долине является функцией времени  $T_{e\Gamma}(t)$  при наложении поля  $E(t)$ ;

- температура электронов в  $L$ -долинах является функцией приложенного поля  $E - T_{eh}(E)$ ;

- подвижность электронов в  $L$ -долинах постоянна;
- рассматривается двухдолинная Г- $\alpha$ -модель полупроводника (поскольку величины  $E$  выбирались близкими к порогу междолинного перехода).

Решалась система из скоростных уравнений (4) и уравнений баланса энергии и импульса (5) в активной области

$$\begin{aligned} \frac{dn_\Gamma}{dt} &= \frac{I_{H\Gamma W}(t)}{dSq} - R_L n_\Gamma p - n_\Gamma W_{\Gamma L}(\epsilon_\Gamma) + n_L W_{L\Gamma}(\epsilon_\Gamma) - \frac{n_\Gamma}{\tau_\Gamma(\epsilon_\Gamma)}, \\ \frac{dn_L}{dt} &= \frac{I_{H\Gamma W}(t)}{dSq} - n_L W_{L\Gamma}(\epsilon_L) + n_\Gamma W_{\Gamma L}(\epsilon_\Gamma) = \frac{n_L}{\tau_L(\epsilon_L)}, \\ n_\Gamma + n_L &= n, \quad n = p, \\ I_H &= I_{H\Gamma W} + I_{H\Gamma W}, \\ \frac{I_{H\Gamma W}}{I_{H\Gamma W}} &\approx \frac{\mu_{\Gamma W} n_\Gamma w}{\mu_{LW} n_L w}, \end{aligned} \quad (4)$$

где  $n_{\Gamma, L}$  — концентрация электронов,  $I_H$  — ток накачки,  $R_L$  — скорость излучательной рекомбинации,  $p$  — концентрация дырок,  $\epsilon_{\Gamma, L}$  — средняя энергия долины,  $W_{\Gamma L}$ ,  $W_{L\Gamma}$  — скорости междолинного перехода,  $\tau_\Gamma$ ,  $\tau_L$  — характерные времена термоэлектронной эмиссии из активной области лазера,  $\mu_{\Gamma W}$ ,  $\mu_{LW}$  — подвижности. Индексы  $\Gamma$ ,  $L$  относятся к Г- и  $L$ -долинам узкозонного слоя, индексы  $\Gamma W$ ,  $LW$  — соответственно к Г-,  $L$ -долинам широкозонного слоя.

Величины  $\epsilon_\Gamma$ ,  $\epsilon_L$ , входящие в (4), определяются из уравнений

$$\frac{d\epsilon_\Gamma}{dt} = qv_\Gamma E(t) - \frac{\epsilon_\Gamma - \epsilon_0}{\tau_{\epsilon\Gamma}(\epsilon_\Gamma)}, \quad \epsilon_L = \epsilon_L [E(t)], \quad (5)$$

$$\frac{dv_\Gamma}{dt} = \frac{qE(t)}{m_\Gamma^*} - \frac{v_\Gamma}{\tau_p(\epsilon_\Gamma)},$$

$$\mu_L = \mu_{L0},$$

где  $q$  — заряд электрона,  $v_\Gamma$  — средняя дрейфовая скорость электронов в Г-долине,  $\tau_{\epsilon\Gamma}$ ,  $\tau_p$  — времена релаксации энергии и импульса в Г-долине.

Все энергетические зависимости времен релаксации, а также времена термоэлектронной эмиссии рассчитаны методом Монте-Карло. Численно решая систему уравнений (4), (5) при заданных зависимостях  $I_H(t)$ ,  $E(t)$  и используя для нахождения положения квазиуровней Ферми электронов и дырок соотношения

$$n_\Gamma = N_{e\Gamma} F_{1/2} \left( \frac{E_e - F_e}{kT_{e\Gamma}} \right), \quad (6a)$$

$$F_h = -kT_h \ln(p/N_\nu),$$

(6)

где  $F_{1,2}$  — интеграл Ферми—Дирака,  $T_h$  — температура дырок ( $T_h = T_0$ ),  $N_{\text{cr}}$ ,  $N_e$  — эффективные плотности состояний электронов и дырок соответственно,  $T_{eG}$  — температура электронов в Г-долине в активной области прибора ( $\epsilon_G = 3/2 kT_{eG}$ ), можно определить ис-  
комую зависимость  $\alpha(t)/\alpha_0$ .

Расчеты проведены по системе уравнений (4)–(6) для гетеролазера на основе  $\text{Al}_{0.3}\text{Ga}_{0.7}\text{As}$ — $\text{GaAs}$  со сле-  
дующими параметрами активной об-  
ласти:  $d = 0.2$  мкм,  $w = 300$  мкм,  
 $l=3$  мкм. Параметры зонной струк-  
туры  $\text{GaAs}$  и  $\text{AlGaAs}$  были взяты

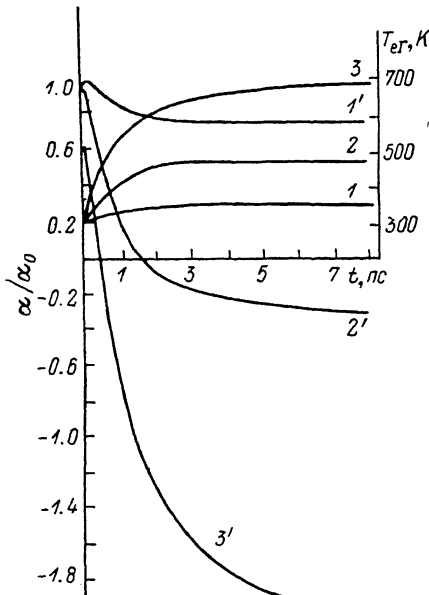


Рис. 1. Отклик температуры электро-  
нов в Г-долине  $T_{eG}$  (1–3) и коэффи-  
циента усиления световой волны  $\alpha(t)/\alpha_0$   
(1'–3') на наложение ступенек  
поля  $E_0$  в момент  $t=0$ .

$I_R=150$  мА;  $E_0$ , кВ/см: 1, 1' — 1; 2, 2' — 2;  
3, 3' — 3.

такими же, как в работе [3]. Величина энергетического зазора между Г-доли-  
нами широкозонного и узкозонного слоев гетероструктуры составляла 0.3 эВ.  
Для вычисления энергетического зазора между L-долинами использовались  
данные, приведенные в работе [3].

Относительный коэффициент усиления  $\alpha(t)/\alpha_0$  рассчитывался в условиях  
разогрева электронов в активной области гетеролазера постоянным электриче-  
ским полем  $E_0$ , переменным высокочастотным полем  $E_0 + E_1 \sin(2\pi ft)$  и пикосе-  
кундными прямоугольными импульсами.

Наложение постоянного греющего поля  $E_0 > 2$  кВ/см приводит к невыполне-  
нию условия (1) главным образом за счет повышения температуры электронов.  
При этом, когда  $E_0 < 3$  кВ/см, концентрация электронов в активной области  
 $n_g$  и их доля в Г-долине практически не изменяются (рис. 1).

Разогрев «чисто» переменным электрическим полем  $E = E_1 \sin(2\pi ft)$  иссле-  
дован в диапазонах амплитуд  $0 < E_1 \leq 3$  кВ/см и частот  $0 < f \leq 400$  ГГц  
(рис. 2, 3). Прежде всего следует отметить, что разогрев чисто переменным полем

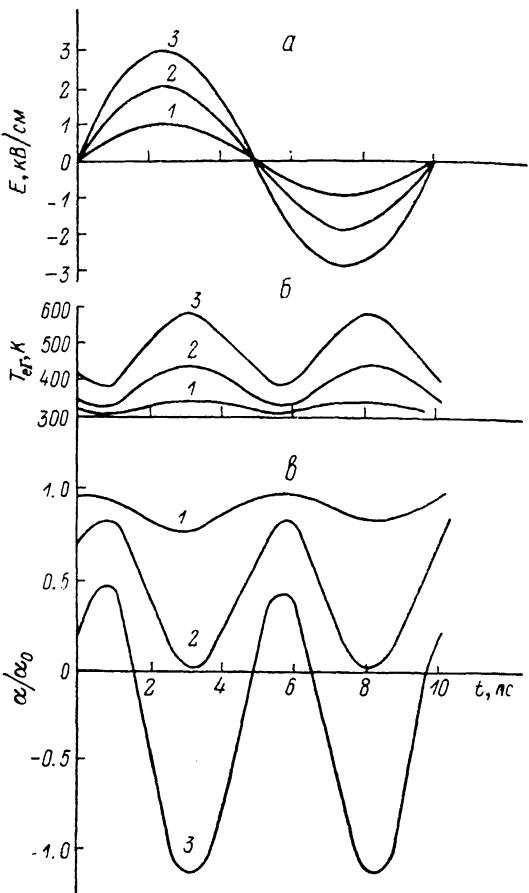


Рис. 2. Модуляция температуры электронов в Г-  
долине GaAs и коэффициента усиления световой  
волны в слое GaAs переменным полем вида  
 $E = E_1 \sin(2\pi ft)$ .

$f=100$  ГГц;  $I_R=150$  мА;  $E_1$ , кВ/см: 1 — 1, 2 — 2, 3 — 3.

частоты  $f$  приводит к модуляции коэффициента усиления  $\alpha(t)$  гетеролазера с удвоенной частотой  $2f$  (рис. 2, а, в) за счет того, что разогрев электронов происходит в течение как положительного, так и отрицательного полупериодов греющего поля  $E_1$  (рис. 2, а, б). С ростом частоты приложенного поля  $f$  происходит уменьшение глубины модуляции  $m = (\alpha_{\max} - \alpha_{\min})/\alpha_0$  (рис. 3, а, б). (В том случае, когда  $\alpha_{\min} < 0$ , считается  $\alpha_{\min} = 0$ ). Следует отметить, что для заданного значения тока накачки  $I_n$  существует оптимальная амплитуда переменного сигнала  $E_1$ , при которой глубина модуляции максимальна (рис. 3, а). Действительно, при значениях  $E_1 < 2$  кВ/см колебания температуры малы (рис. 2, б), а при более высоких  $E_1 (> 3$  кВ/см) средняя температура электронов столь высока, что через время  $\tau \sim f^{-1}$  после включения поля средняя температура электронов достигает таких значений, при которых соотношение (!) не выполняется для всех  $t > \tau$  и лазерная генерация прекращается.

В рассмотренном диапазоне токов

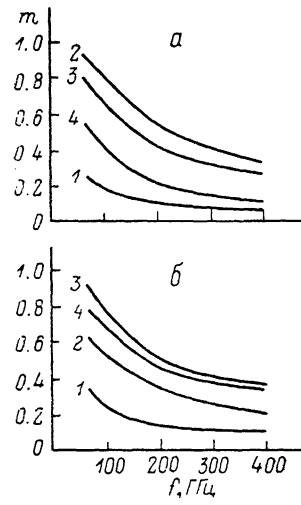


Рис. 3. Зависимости коэффициента модуляции световой волны  $m$  от частоты приложенного электрического поля.

$I_n$ , мА: а — 150, б — 200.  $E_1$ , кВ/см: 1 — 1, 2 — 2, 3 — 2.5, 4 — 3.

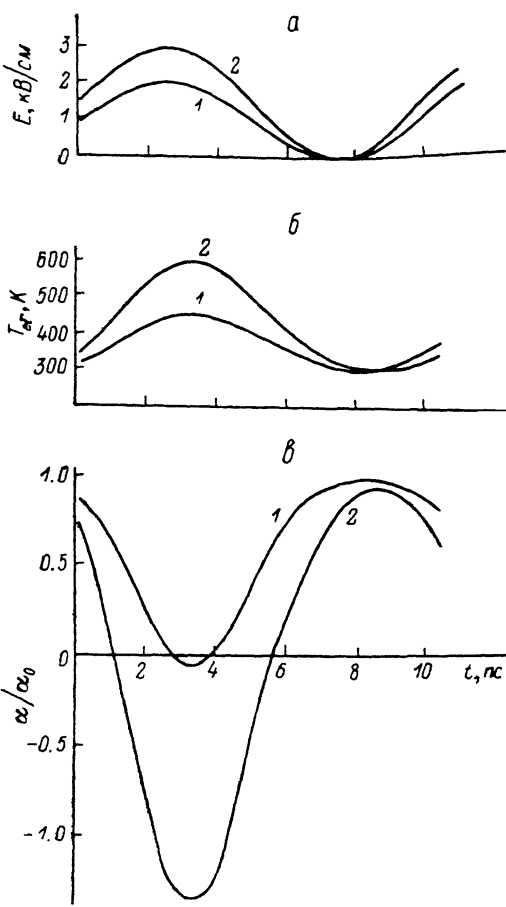


Рис. 4. Модуляция температуры электронов в Г-долине GaAs и коэффициента усиления световой волны в слое GaAs переменным полем вида  $E = E_0 + E_1 \sin(2\pi ft)$ .

$f = 100$  ГГц;  $I_n = 150$  мА;  $E_0 = E_1$ , кВ/см: 1 — 1, 2 — 1.5.

накачки ( $100 \leq I_n \leq 200$  мА) максимальные значения коэффициентов модуляции достигаются при величине амплитуды греющего поля  $E_1$  от 2 до 2.5 кВ/см.

Наложение высокочастотного греющего поля с постоянной составляющей вида  $E_0 + E_1 \sin(2\pi ft)$  позволяет при определенном соотношении  $E_0$  и  $E_1$  ( $E_0 \geq E_1$ ) осуществить модуляцию коэффициента усиления  $\alpha(t)$  с частотой, равной частоте  $f$  приложенного переменного сигнала (рис. 4). Заметим, что дополнительный средний разогрев электронов, связанный с наличием постоянной составляющей греющего поля  $E_0$ , обеспечивает эффективную модуляцию величины  $\alpha$  при значениях  $E_1$ , меньших по сравнению с модуляцией  $\alpha$ , чисто переменным сигналом (рис. 2, 4).

Воздействие короткими импульсами электрического поля приводит к импульсному выключению лазера (рис. 5). Время задержки выключения составляет  $\sim 0.5$  пс, а время последующего включения зависит от длительности и

амплитуды импульса и определяется временем остыния электронного газа, разогретого импульсным воздействием.

Таким образом, разогрев электронного газа электрическим полем в активной области гетеролазера позволяет осуществлять эффективную модуляцию коэффициента усиления световой волны  $\alpha$  в узкозонном слое лазерной структуры. В зависимости от соотношения амплитуд  $E_0$  и  $E_1$  прикладываемого греющего поля возможна эффективная модуляция величины  $\alpha$  как с частотой модулирующего сигнала  $f$ , так и с удвоенной частотой  $2f$  вплоть до значений  $f \simeq 400$  ГГц. Воздей-

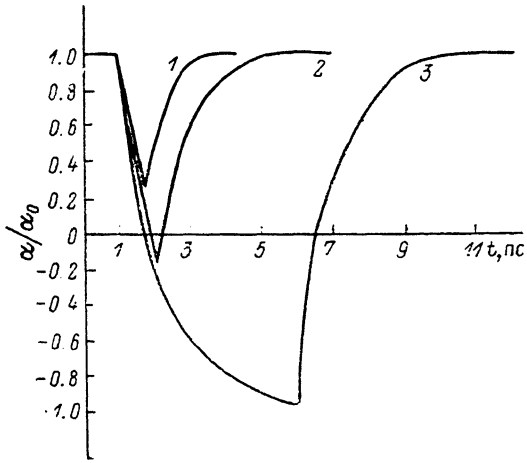


Рис. 5. Отклики коэффициента усиления световой волны в слое GaAs на прямоугольные импульсы электрического поля амплитуды 2.5 кВ/см длительностью 0.5 (1), 1 (2) и 5 пс (3) ( $I_n = 150$  мА).

ствие импульсами греющего поля пикосекундной длительности приводит к импульсному выключению гетеролазера (к смене знака коэффициента усиления  $\alpha$ ) с временем задержки  $\tau_e$ .

#### Список литературы

- [1] Гельмонт Б. Л., Соколова З. Н., Халфин В. Б. // ФТП. 1984. Т. 18. В. 10. С. 1803.
- [2] Кейси Х., Папиш М. Лазеры на гетероструктурах. Т. 1. М., 1981. 299 с.
- [3] Тагер А. С. // Электрон. техн. Сер. Электроника СВЧ. 1984. № 10. С. 28.

Институт радиотехники и электроники  
АН СССР  
Саратовский филиал

Получена 31.10.1989  
Принята к печати 15.12.1989